

低拘束圧不飽和三軸試験装置について

関西大学工学部 正会員 西田一彦  
 関西大学工学部 正会員 青山千彰  
 関西大学大学院 学生員 ○角 直樹

1. はじめに

不飽和土のせん断特性やせん断中のサクシヨンの挙動については、常圧下において議論されていることが多く、低圧下での議論はあまり多くされていない。低圧下では、サクシヨンの挙動を調べるとき、常圧下で行われている空気圧を制御する方法を用いると、低拘束圧状態を保つことが非常に難しい。そのため、負圧を直接計測できる試験装置が必要となってくる。そこで本研究では、この目的に合うように改良した不飽和三軸試験装置を用いて、低圧下におけるせん断中のサクシヨンの挙動を調べた結果を報告する。

2. 実験装置

今回用いた不飽和三軸試験装置を図-1に示す。拘束圧はエアレギュレーターで負荷し、その測定可能範囲は0~0.7kgf/cm<sup>2</sup>、精度は0.01kgf/cm<sup>2</sup>である。また、供試体の体積変化を正確に測定するために二重セル構造とし、供試体の体積変化は内セルの水面の変動をフロートターゲットと非接触センサーを用いて、測定できる構造となっている。下部ベDESTALにはAEV=2.0kgf/cm<sup>2</sup>の素焼板を取り付け、サクシヨンの測定にはひずみゲージ型圧力センサーを用いた。空気圧の測定は、潜水性のフィルターを介して上部ベDESTALの中に組み込まれている半導体型圧力センサーによって測定できるようになっている。これによって、飽和土の圧密排水試験と同じ方法で、不飽和土においても試験ができ、サクシヨンを負の間隙水圧として測定することができる。

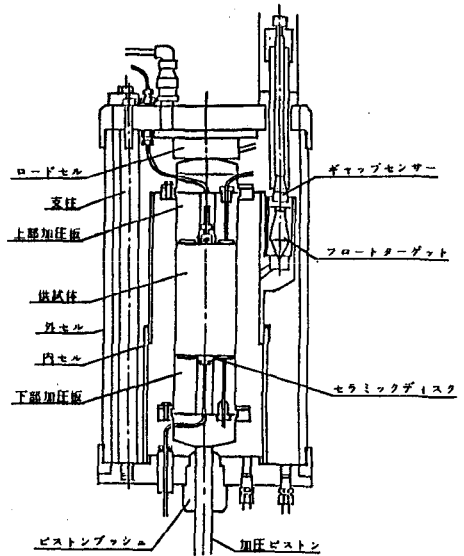


図-1 不飽和三軸試験装置

3. 試料及び実験方法

試料は、兵庫県六甲山地帯に広く分布する花崗岩風化層から採取したまさ土で、2mmふるいを通したものを供試土とした。試料の物理的性質を表-1に示す。粒度分布は砂分65%、シルト分18%、粘土分15%である。また、同一状態で比較するために、すべての試料の密度を一定にして行った。

供試体の作成方法は、含水比が10.42%、16.04%、18.08%になるように水分調整をした試料をそれぞれ10層に分けてモールドに入れ、各層20回ずつ締め固め、間隙比が1.0になるようにした。また、供試体の寸法は高さ16cm、直径8cmである。圧密時間は1時間とし、側圧は0.01、0.05、0.1、0.15、0.2kgf/cm<sup>2</sup>で行った。せん断方法はひずみ制御で行い、そのせん断速度は0.05%/minとした。

表-1 物理的性質

比重	G <sub>s</sub>	2.67
液性限界	w <sub>L</sub>	43.8%
塑性限界	w <sub>P</sub>	24.5%
塑性指数	I <sub>P</sub>	19.3
強熱減量	L <sub>i</sub>	4.19%

Kazuhiko NISIDA, Chiaki AOYAMA, Naoki SUMI

#### 4. 実験結果

初期含水比  $w_0=16.04\%$  における軸ひずみとサクシヨンの関係を図-2に示す。せん断中では、拘束圧がいずれの場合も軸ひずみの増加とともにサクシヨンが増加しているのがわかる。また、拘束圧が大きくなるにしたがってその増加量は減少しているのはつきりとわかる。

せん断中の体積ひずみとサクシヨンの関係を図-3に示す。全体として、体積の膨張、収縮にかかわらずサクシヨンは増加しており、拘束圧が大きくなるにしたがって勾配がゆるやかになり、サクシヨンが一定になる傾向がみられる。

また、軸差応力とサクシヨンの関係を図-4に示す。これより、拘束圧がいずれの場合も応力が増加するにつれてサクシヨンは増加し、拘束圧が大きくなるにしたがって、サクシヨンの増加量は減少する傾向がみられる。また、拘束圧が  $0.01\text{kgf/cm}^2$  のときにはピーク強度があらわれるが、サクシヨンはなお増加しているのがわかる。

つぎに、3種類の含水比における破壊包絡線を図-5に示す。これより、低圧下では必ずしも直線とはならず湾曲しており、やがては飽和度  $S_r=100\%$  の破壊包絡線に近づいていくような傾向がみられる。

今回の試験装置によって、同一密度における3種類の異なる含水比で実験を行った結果、多少のばらつきはあるが、低圧下でのサクシヨンの挙動を測定することができた。

今後、他の密度におけるせん断中のサクシヨンの挙動を調べ、低圧下におけるサクシヨンが強度に及ぼす影響を明らかにする必要がある。

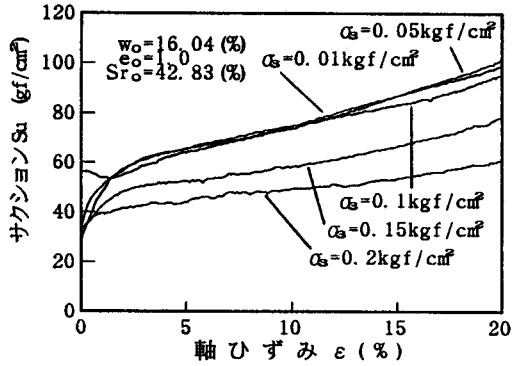


図-2 軸ひずみとサクシヨンの関係

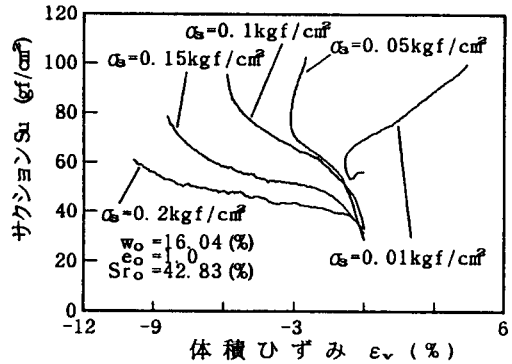


図-3 体積ひずみとサクシヨンの関係

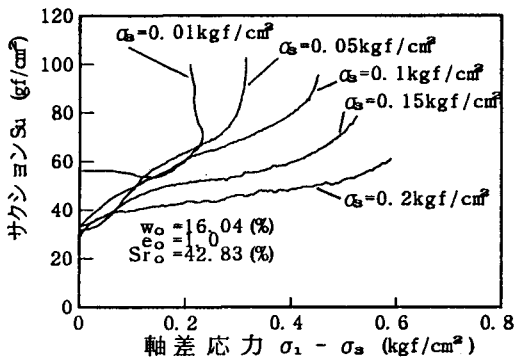


図-4 軸差応力とサクシヨンの関係

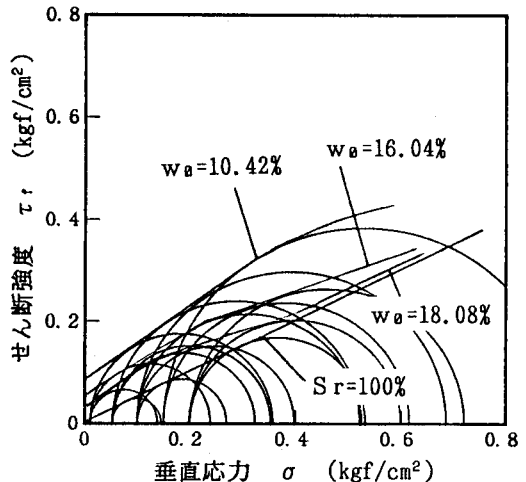


図-5 破壊包絡線